

### BPSK 신호의 프리모듈레이션 필터링에 관한 연구

이 정 찬, 강 참 언  
연세대학교 전자공학과

### A Study on Premodulation Filtering BPSK Signals

Jeong Chan Lee, Chang Eun Kang  
'Dept. of Electronic Eng., Yonsei University

The power spectra of a BPSK signal has a  $\left\{ \frac{\sin x}{x} \right\}^2$  characteristic that may interfere with adjacent channels. To suppress the out-of-band interference, the sidelobes of the BPSK signal has to be removed by filtering at the transmitter. However, when this filtered signal is transmitted through a nonlinear channel, such as a TWT, the filtered sidelobes are regenerated. Therefore, it is necessary to generate the BPSK signal with a constant envelope.

This paper describes a method for generating a bandlimited BPSK signal with a constant envelope and proves its efficiency by experiment and computer simulation.

#### 1. 서 론

BPSK (Binary phase shift keying) 변조 방식은 데이터를 RF 캐리어에 실어 보내는 여러가지 디지털 변조 방식 중에서 에너지효율이 높은 방식으로 알려져 있다. 그러나 BPSK 신호는  $\left\{ \frac{\sin x}{x} \right\}^2$ 의 주파수대 특성을 가지므로 인접 채널간의 간섭을 발생시키기 쉽다. 이 때문에 premodulation 이나 postmodulation filtering 에 의해 BPSK 신호의 대역폭을 제한해서 전송해야 한다. 그러나 에너지 효율을 높이기 위해서 TWT 와 같은 RF 증폭기에서는 saturation 영역에서 증폭을 해야 하므로 이 영역의 nonlinearity 에 의해 filtering 으로 줄어들었던 대역폭이 다시 확산된다. 이처럼 증폭기의 비선형성에 의해서도 대역폭이 확산되지 않게 하기 위해서는 포락선이 일정한 BPSK 신호의 발생이 필요하게 된다.

기존의 BPSK 방식에서는 위상이 0과  $\pi$ 사이를 급격히 변화하여 위상의 변화점에서 zero-crossing 이 나타나지만 본 논문에서 다룬 MBPSK(Modified BPSK) 방식에서는 위상이 0과  $\pi$ 사이의 돌출 경유하여 완만하게 변화하도록 하여 포락선이 일정한 BPSK 신호를 발생시키게 된다. 이렇게 발생된 MBPSK 신호는 증폭기의 비선형 영역에서도 대역폭의 확산을 막을 수 있으며 결과적으로 인접 채널과의 간섭을 현저히 줄일 수 있고 에너지 효율을 더욱더 높일 수 있다.

본 논문에서는 이러한 MBPSK 변조 방식을 제안하고 실험 및 computer simulation 에 의해 그 효율성을 입증 하였다.

#### 2. MBPSK 신호 발생의 수학적 근거

일반적으로 BPSK 신호는 다음의 식 (1)과 같이 나타낼 수 있다.

$$m(t) = C \cos[\omega_c t + \theta(t)]$$

where  $\theta(t) = 0^\circ$  or  $180^\circ$  .....(1)

BPSK 신호의 위상은 아래 그림 (1)에서와 같이 0인 ①점과 180인 ③점 사이를 급격히 순간적으로 변화하게 되며 이에 따라 filtering 시 위상이 변화하는 점에서 zero-crossing 이 일어난다. 그러나 위상의 변화를 ①②① 혹은 ③②③ 과 같이 그림의 반원을 따라 완만하게 해주면 envelope 이 일정한 BPSK 신호를 얻을 수 있다.

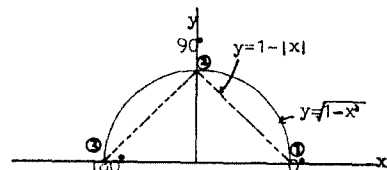


그림 1. BPSK 신호의 phase vector diagram

$$X^2 + Y^2 = A^2 \Rightarrow Y(t) = \sqrt{A^2 - X^2(t)} \dots\dots\dots(2)$$

$$\approx A - |X(t)| \dots\dots\dots(3)$$

그림(1)에서 점선으로 나타낸 chord 는 실선으로 나

타낸 arc를 implementation 의 편의상 근사한 것이다.

2-1. chord 에 의한 근사적 MBPSK 신호의 발생

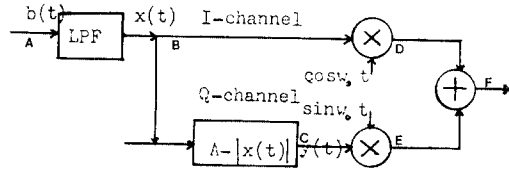


그림 2. chord 에 의한 MBPSK 신호의 발생 회로

$$\text{output } Z(t) = X(t)\cos w_c t + [A - |X(t)|] \sin w_c t \dots\dots(4)$$

$$= B(t)\cos(w_c t - \phi(t)) \dots\dots\dots(5)$$

$$\text{where } B(t) = \sqrt{A^2 + 2X^2(t) - 2A|X(t)|}$$

$$\phi(t) = \tan^{-1} \frac{A - |X(t)|}{X(t)} \quad 0 < \phi < \pi$$

식 (5)에서 envelop 인 B(t)는 가장 작은 값이 peak voltage의 0.707배 보다는 큰 값을 갖는 신호로 기존의 BPSK 신호보다 상당히 constant 값에 근사해 있음을 알 수 있다.

2-2. arc 에 의한 MBPSK 신호의 발생

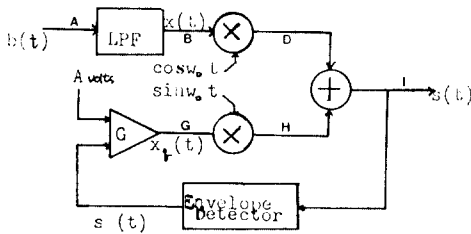


그림 3. arc 에 의한 MBPSK 신호의 발생회로

$$\text{output } Z(t) = X(t)\cos w_c t + \left[ \frac{A - |X(t)|}{A - |X(t)|} \right] \sin w_c t$$

$$= A \cos(w_c t - \tan^{-1} \frac{A - |X(t)|}{X(t)}) \dots\dots(6)$$

식 (6)에서 envelope 인 A 값으로 완전한 constant 값을 갖게 된다.

2-3. implementation의 이론적 배경

그림3에서 envelope-detector 의 output

$$Se(t) = \sqrt{X^2(t) + X^2(t)} \dots\dots\dots(7)$$

$$Xq(t) = G(A - \sqrt{X^2(t) + X^2(t)}) \dots\dots\dots(8)$$

$$\text{where } G = \text{differential amp. gain}$$

$$A - \left( \frac{Xq(t)}{G} \right) = \sqrt{X^2(t) + X^2(t)}$$

G 값이 매우 클 때

$$A \approx \sqrt{X^2(t) + X^2(t)}$$

$$\therefore Xq(t) = \sqrt{A^2 - X^2(t)} = Y(t) \dots\dots\dots(9)$$

따라서 그림3과 같은 회로는 MBPSK 신호를 발생할 수 있음을 알 수 있다.

그림2와 그림3의 각 component에서의 파형을 살펴보

면 다음 그림과 같다.

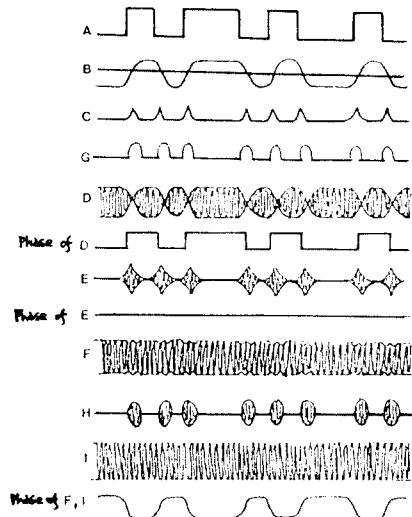


그림 4. MBPSK 회로 각component 의 파형

3. computer 에 의한 spectrum의 계산

3-1. Baseband signal X(t)의 spectrum

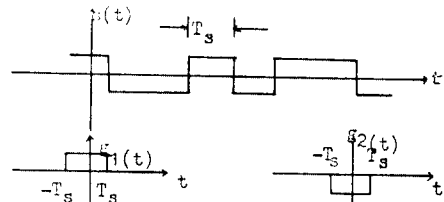


그림 5. random binary signal

그림5와 같이 "1" 상태인 g\_1(t)와 "0" 상태인 g\_2(t)가 random하게 반복되어 나타나는 binary 신호의 spectrum은 다음 식으로 쓸수 있다. (Benette, 1950)

$$S(f) = 2f_s p(1-p) \left[ \gamma(f) - g_2(f) \right]^2 + f_s^2 [p g_1(0) + (1-p) g_2(0)]^2 \delta(f) \dots\dots\dots(10)$$

$$+ 2f_s \sum_{m \neq 0} [p g_1(m f_s) + (1-p) g_2(m f_s)] \delta(f - m f_s)$$

where f\_s = symbol rate

- $\gamma(f) = \mathcal{F}\{g_1(t)\}$ : Fourier Transform of g\_1(t)
- $g_2(f) = \mathcal{F}\{g_2(t)\}$  " " g\_2(t)
- p = g\_1(t) 의 발생 확률
- 1-p = g\_2(t) " "

p = 1-p = 0.5 일 때 수 (10)으로 부터

$$S(f) = \frac{2}{f_s} \left| \frac{A \sin \pi f / f_s}{f / f_s} \right|^2 \dots\dots\dots(11)$$

X(t)는 위 그림5의 binary 신호가 LPF를 통과한 신호 이므로

$$S_x(f) = \left| H(f) \right|^2 |S(f)|^2 = \frac{2}{T_s} \left| H(f) \right|^2 \left| \frac{A \sin \pi f / 2a}{f/2} \right|^2 \dots (12)$$

function where  $H(f)$ : premodulation filter transfer function  
 3-2. Baseband signal  $X(t)$ 의 spectrum.

식  $Y(t) = \sqrt{A^2 - X^2(t)}$ 로부터  $Y(t)$ 를 구하기 위해서는 먼저  $X(t)$ 를 수식으로 근사해야 된다.

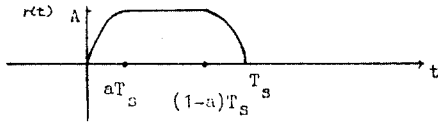


그림 6.  $X(t)$ 의 수학적 근사.

$$r(t) = \begin{cases} A \sin \frac{\pi t}{2aT_s} & \text{for } 0 < t < aT_s \\ A & \text{for } aT_s < t < (1-a)T_s \dots (13) \\ A \sin \frac{\pi (T_s - t)}{2aT_s} & \text{for } (1-a)T_s < t < T_s \end{cases}$$

where  $0 < a < \frac{1}{2}$

$$p(t) = \sqrt{A^2 - r^2(t)} = \begin{cases} \sqrt{1 - \sin^2 \frac{\pi t}{2aT_s}} = \text{Acos} \frac{\pi t}{2aT_s} & \text{for } 0 < t < aT_s \\ 0 & \text{for } aT_s < t < (1-a)T_s \\ \sqrt{1 - \sin^2 \frac{\pi (T_s - t)}{2aT_s}} = \text{Acos} \frac{\pi (T_s - t)}{2aT_s} & \text{for } (1-a)T_s < t < T_s \end{cases} \dots (14)$$

즉  $Y(t)$ 는  $P(t)$ 가 random 하게 발생하는 연속신호로 볼 수 있다.

$$Y(t) = \begin{cases} p(t - nT_s) = \text{Acos} \frac{\pi}{2aT_s} (t - nT_s) & \text{with prob.} = 0.5 \\ 0 & \text{with prob.} = 0.5 \end{cases}$$

따라 하면

$$Z(t) = \sum_{n=-\infty}^{\infty} Y(t)$$

식(14)로부터  $g_1(t) = p(t), g_2(t) = 0$  으로 놓으면

$$S(f) = 2p^2 \left[ p(1-p) |p(f)|^2 + p^2 f_s^2 |p(0)|^2 \delta(f) + 2p^2 f_s^2 \sum_{m=1}^{\infty} p(mf) |S(f - mf)|^2 \dots (15) \right]$$

$P(t)$ 의 Fourier Transform을 구하면

$$P(f) = \int p(t) e^{-j2\pi ft} dt = \frac{A}{\pi(\frac{1}{2a} - 2f)} \sin \pi(\frac{1}{2} - \frac{2af}{f_s}) + \frac{A}{\pi(\frac{1}{2a} + 2f)} \sin \pi(\frac{1}{2} + \frac{2af}{f_s}) \dots (16)$$

식(16)을 식(15)에 대입하면  $Y(t)$ 의 spectrum 이 구해진다.

$$S_y(f) = 2f_s^2 p^2 (1-p)^2 \left[ \frac{A^2}{\pi^2(\frac{1}{2a} - 2f)^2} \sin^2 \pi(\frac{1}{2} - \frac{2af}{f_s}) + \frac{A^2}{\pi^2(\frac{1}{2a} + 2f)^2} \sin^2 \pi(\frac{1}{2} + \frac{2af}{f_s}) \right] + p^2 f_s^2 \left[ \frac{A^2}{\pi^2} \delta(f) + 2p^2 f_s^2 \sum_{m=1}^{\infty} \left[ \frac{A^2}{\pi^2(\frac{1}{2} - 2m)^2} \sin^2 \pi(\frac{1}{2} - 2ma) + \frac{A^2}{\pi^2(\frac{1}{2} + 2m)^2} \sin^2 \pi(\frac{1}{2} + 2ma) \right] |S(f - mf)|^2 \dots (17) \right]$$

3-3. MBPSK signal  $Z(t)$ 의 spectrum.  
 그림 2 나 그림 3에서 output  $Z(t)$ 는 다음식과 같이 쓸 수 있다.

$$Z(t) = X(t) \cos 2\pi f_c t + Y(t) \sin 2\pi f_c t \dots (18)$$

따라서  $Z(t)$ 의 spectrum 은

$$S_z(f) = \frac{1}{2} [S_x(f+f_c) + S_x(f-f_c)] + \frac{1}{2} [S_y(f+f_c) - S_y(f-f_c)]$$

양의 주파수 영역의 amplitude 만을 그려하면

$$|S_z^+(f)| = \frac{1}{2} \sqrt{|S_x(f-f_c)|^2 + |S_y(f-f_c)|^2} \dots (19)$$

식(19)에서 보는 바와 같이 MBPSK 신호의 spectrum 은 Baseband 신호  $X(t)$ 와  $Y(t)$ 의 각각의 spectrum  $S_x(f)$ 와  $S_y(f)$ 를 캐리어 주파수  $f_c$  만큼 Shift 하여 얻을 수 있다. 실제 실험에서 사용된 값, 즉

data rate  $f = 30\text{kHz}, p = 0.5, A = 1, a = 0.4, f_s = 70\text{kHz}$ 를

식(12)와 식(15)에 대입하고 computer 를 사용하여 spectrum 을 그리면 아래 그림과 같다.

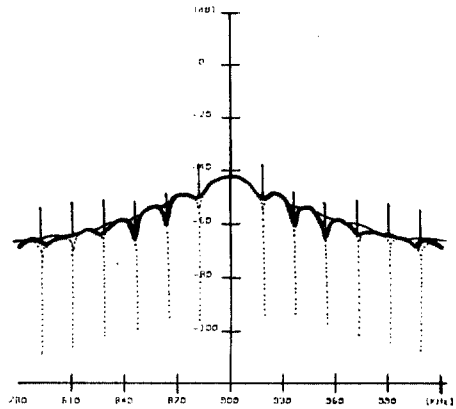
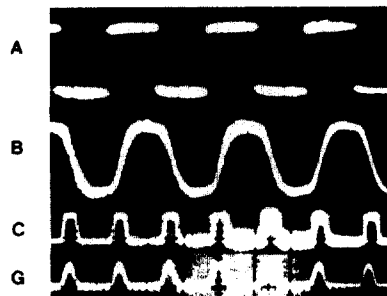


그림 7. MBPSK 신호의 spectrum

위의 그림에서 가는 실선은 chord 에 의해 근사된 신호의 spectrum 을, 굵은 실선은 정확한 MBPSK 신호의 spectrum 을, 점선은 종래의 BPSK 신호의 spectrum 을 나타낸다.

#### 4. 실험 결과 및 교차

실험에 의해 각 component 에서의 파형을 구하면 아래 사진과 같다.



다음 페이지에 그림 연결

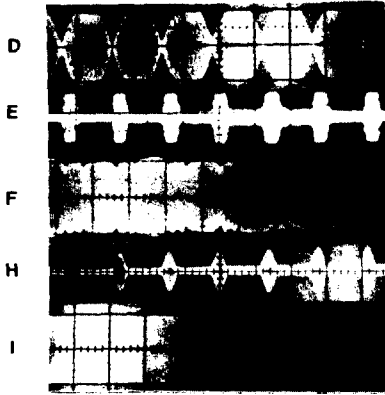


그림 8. 실험에 의한 각 component wave의 다형

실험에서 chord에 의한 근사식  $Y(t) = 1 - |X(t)|$  는 NPN switching Tube 사용한 회로로 구현했는데 이론에서 예측한 바와같이 constant 라기 보다는 약간의 fluctuation이 있는 파형을 얻을 수 있었으며 arc에 의한 정확한 MBPSK Q-channel 의식  $Y(t) = \sqrt{1 - X(t)}$  는 differential amp. 에 의한 feedback 회로로서 구현했는데 거의 완전한 constant envelope BPSK 신호를 얻을 수 있음을 증명했다.

## 5. 결 론

수학적 이론에 의한 constant-envelope BPSK 신호의 발생을 implementation에 의해 확인했으며 또한 computer simulation 에 의해 power spectrum 을 구하였다. 그 결과, spectrum은 종래의 BPSK 신호의 spectrum 과 비슷하지만 종래의 BPSK 신호와는 달리 MBPSK 신호는 constant envelope를 가지므로 RF 증폭기의 saturation 영역에 의한 증폭시에도 대역폭의 확산을 막고 에너지 효율을 상당히 높일수 있음을 확인하였다.

## 6. 참 고 문 헌

1. K. Feher, Digital communication, Prentice-Hall, 1982
2. E. T. Dickerson, J. B. Warren, "Generation of Constant-envelope Signals", IEEE Trans. on commun., vol. com-30, No.12, Dec.1982
3. H. Yazdani, K. Feher, "Constant Envelope Bandlimited BPSK signal", IEEE Trans. on commun., vol. com-28, No.6, June 1980
4. Bennette, "Statistics of Regenerative Digital Transmission", Bell Syst. J., vol.37, Nov., 1958, pp1501-1542